

Starkniederschlagshöhen und -spenden gemäß KOSTRA-DWD-2010R

Auswertungszeitraum von 1951 - 2010, Januar - Dezember

Rasterfeld: 76019

Zeile: 76

Spalte: 19

Seite: 1/2

| Dauerstufe D | Wiederkehrzeit T | | | | | | | | | | | | | | | | | | |
|--------------|------------------|------|------------|------|------------|------|------------|------|------------|------|------------|------|------------|------|------------|------|------------|-------|------------|
| | 1 a | | 2 a | | 3 a | | 5 a | | 10 a | | 20 a | | 30 a | | 50 a | | 100 a | | |
| min | Std | mm | l / (s ha) | mm | l / (s ha) | mm | l / (s ha) | mm | l / (s ha) | mm | l / (s ha) | mm | l / (s ha) | mm | l / (s ha) | mm | l / (s ha) | mm | l / (s ha) |
| 5 | | 5,3 | 176,7 | 6,7 | 223,3 | 7,5 | 250,0 | 8,6 | 286,7 | 10,1 | 336,7 | 11,5 | 383,3 | 12,3 | 410,0 | 13,4 | 446,7 | 14,9 | 496,7 |
| 10 | | 8,2 | 136,7 | 10,2 | 170,0 | 11,4 | 190,0 | 13,0 | 216,7 | 15,0 | 250,0 | 17,1 | 285,0 | 18,3 | 305,0 | 19,9 | 331,7 | 21,9 | 365,0 |
| 15 | | 10,0 | 111,1 | 12,6 | 140,0 | 14,1 | 156,7 | 15,9 | 176,7 | 18,5 | 205,6 | 21,1 | 234,4 | 22,6 | 251,1 | 24,4 | 271,1 | 27,0 | 300,0 |
| 20 | | 11,3 | 94,2 | 14,2 | 118,3 | 16,0 | 133,3 | 18,2 | 151,7 | 21,1 | 175,8 | 24,1 | 200,8 | 25,9 | 215,8 | 28,0 | 233,3 | 31,0 | 258,3 |
| 30 | | 12,9 | 71,7 | 16,6 | 92,2 | 18,7 | 103,9 | 21,4 | 118,9 | 25,1 | 139,4 | 28,8 | 160,0 | 30,9 | 171,7 | 33,6 | 186,7 | 37,3 | 207,2 |
| 45 | | 14,3 | 53,0 | 18,8 | 69,6 | 21,5 | 79,6 | 24,8 | 91,9 | 29,4 | 108,9 | 33,9 | 125,6 | 36,5 | 135,2 | 39,9 | 147,8 | 44,4 | 164,4 |
| 60 | | 15,1 | 41,9 | 20,4 | 56,7 | 23,4 | 65,0 | 27,3 | 75,8 | 32,6 | 90,6 | 37,9 | 105,3 | 40,9 | 113,6 | 44,8 | 124,4 | 50,1 | 139,2 |
| 90 | | 16,5 | 30,6 | 22,1 | 40,9 | 25,4 | 47,0 | 29,6 | 54,8 | 35,2 | 65,2 | 40,8 | 75,6 | 44,1 | 81,7 | 48,2 | 89,3 | 53,8 | 99,6 |
| 120 | 2 | 17,6 | 24,4 | 23,5 | 32,6 | 26,9 | 37,4 | 31,3 | 43,5 | 37,1 | 51,5 | 43,0 | 59,7 | 46,4 | 64,4 | 50,7 | 70,4 | 56,6 | 78,6 |
| 180 | 3 | 19,3 | 17,9 | 25,6 | 23,7 | 29,2 | 27,0 | 33,8 | 31,3 | 40,1 | 37,1 | 46,3 | 42,9 | 50,0 | 46,3 | 54,6 | 50,6 | 60,8 | 56,3 |
| 240 | 4 | 20,6 | 14,3 | 27,1 | 18,8 | 31,0 | 21,5 | 35,8 | 24,9 | 42,3 | 29,4 | 48,8 | 33,9 | 52,6 | 36,5 | 57,4 | 39,9 | 64,0 | 44,4 |
| 360 | 6 | 22,6 | 10,5 | 29,5 | 13,7 | 33,6 | 15,6 | 38,7 | 17,9 | 45,7 | 21,2 | 52,6 | 24,4 | 56,7 | 26,3 | 61,8 | 28,6 | 68,7 | 31,8 |
| 540 | 9 | 24,7 | 7,6 | 32,1 | 9,9 | 36,4 | 11,2 | 41,9 | 12,9 | 49,3 | 15,2 | 56,7 | 17,5 | 61,0 | 18,8 | 66,5 | 20,5 | 73,9 | 22,8 |
| 720 | 12 | 26,4 | 6,1 | 34,1 | 7,9 | 38,6 | 8,9 | 44,3 | 10,3 | 52,1 | 12,1 | 59,8 | 13,8 | 64,3 | 14,9 | 70,0 | 16,2 | 77,8 | 18,0 |
| 1080 | 18 | 28,9 | 4,5 | 37,1 | 5,7 | 41,9 | 6,5 | 48,0 | 7,4 | 56,2 | 8,7 | 64,5 | 10,0 | 69,3 | 10,7 | 75,4 | 11,6 | 83,6 | 12,9 |
| 1440 | 24 | 30,8 | 3,6 | 39,4 | 4,6 | 44,4 | 5,1 | 50,8 | 5,9 | 59,4 | 6,9 | 68,0 | 7,9 | 73,0 | 8,4 | 79,4 | 9,2 | 88,0 | 10,2 |
| 2880 | 48 | 37,6 | 2,2 | 46,9 | 2,7 | 52,4 | 3,0 | 59,3 | 3,4 | 68,7 | 4,0 | 78,1 | 4,5 | 83,6 | 4,8 | 90,5 | 5,2 | 99,9 | 5,8 |
| 4320 | 72 | 42,2 | 1,6 | 52,0 | 2,0 | 57,8 | 2,2 | 65,0 | 2,5 | 74,8 | 2,9 | 84,7 | 3,3 | 90,4 | 3,5 | 97,7 | 3,8 | 107,5 | 4,1 |

Angaben in mm: Bemessungsniederschlagswerte h(n)

Angaben in l / (s ha): Regenspende R(n) mit $R(n) = h(n) \times 1,666667 / D[\text{min}]$

Toleranzbereiche:

+/- 10 % für $1 a \leq T \leq 5 a$

+/- 15 % für $5 a < T \leq 50 a$

+/- 20 % für $50 a < T \leq 100 a$

Datenbasis: KOSTRA-DWD-2010R des Deutschen Wetterdienstes. Die Regenspende wurde auf Basis des Bemessungsniederschlags zur jeweiligen Andauer berechnet.

Für die Richtigkeit und Aktualität der Angaben wird keine Gewähr übernommen. Erstellt 07/2022.

Starkniederschlagshöhen und -spenden gemäß KOSTRA-DWD-2010R

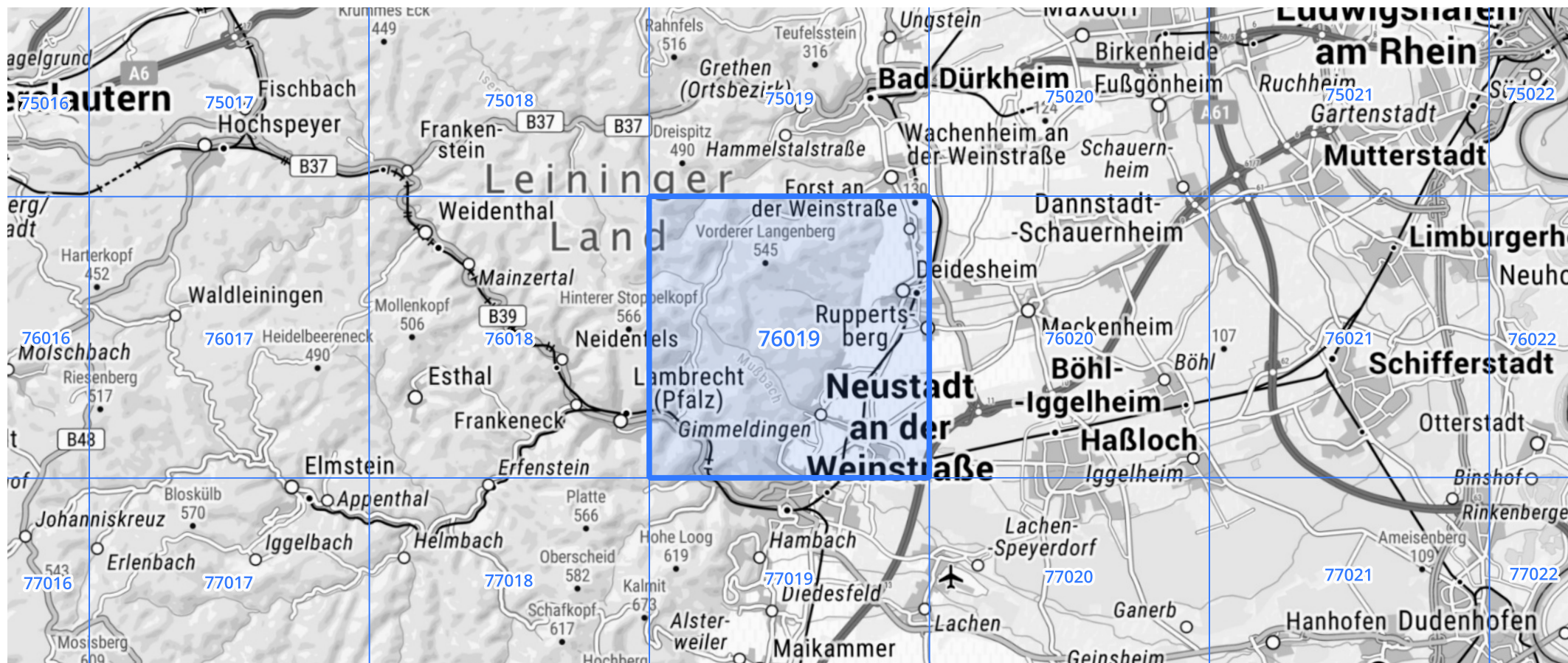
Auswertungszeitraum von 1951 - 2010, Januar - Dezember

Rasterfeld: 76019

Zeile: 76

Spalte: 19

Seite: 2/2



Quelle Rasterdaten: KOSTRA-DWD-2010R des Deutschen Wetterdienstes.

Kartendarstellung: © Bundesamt für Kartographie und Geodäsie (2022), Datenquellen: https://sgx.geodatenzentrum.de/web_public/gdz/datenquellen/Datenquellen_TopPlusOpen.html

Für die Richtigkeit und Aktualität der Angaben wird keine Gewähr übernommen. Erstellt 07/2022.